

X. DVĚ ZÁKLADNÍ PŘÍBLIŽNÉ METODY ŘEŠENÍ STACIONÁRNÍ
SCHRÖDINGEROVY ROVNICE

Protože přesné analytické řešení většiny kvantověmechanických úloh není možné, má pro praktické aplikace kvantové mechaniky základní význam rozvíjení přibližných metod. Vždyť i tak důležité a rozsáhlé disciplíny jako např. kvantová teorie pevných látek nebo kvantová chemie, nejsou v podstatě ničím jiným, než hledáním a rozpracováváním přibližných postupů pro řešení úloh, které vznikají aplikací základních kvantověmechanických principů na systémy, které tyto vědy studují.

V této kapitole si rozebereme dva jednoduché základní aproximativní postupy pro řešení stacionární Schrödingerovy rovnice: teorii poruch a variační metodu. Jejich použitelnost je univerzální v tom smyslu, že nejsou budovány pro nějaký konkrétní kvantověmechanický systém; pro jejich aplikaci je pouze třeba, aby byly splněny předpoklady použité při jejich odvození. V následující kapitole si pak všimneme přibližného řešení nestacionárních úloh.

1. Poruchový počet pro stacionární úlohy

Stacionární poruchový počet je v kvantové fyzice používán velice často, neboť velmi dobře odpovídá obvyklému přístupu fyziků k řešení problému: nejprve se vytvoří co nejjednodušší model studované soustavy, který by měl zahrnout všechny její základní charakteristiky; jakmile je vyřešen a pochopen, přistoupí se k pokusům o vyjasnění "jemnějších" detailů započtením slabších vlivů, které byly v prvním přiblížení zanedbány.

1.1) Základní formule

Předpokládejme, že hamiltonián ve stacionární Schrödingerově rovnici

$$\mathcal{H} \psi = E \psi \quad (1)$$

je možné psát jako součet dvou členů

$$\mathcal{H} = \mathcal{H}_0 + \mathcal{W} \quad (2)$$

Poruchový počet pro řešení rovnice (1) je možné použít, jestliže:

a) známe řešení neporušené Schrödingerovy rovnice

$$\mathcal{H}_0 \varphi = \varepsilon \varphi \quad ; \quad (3)$$

b) energie reprezentovaná poruchovým členem \mathcal{W} je značně menší než energie reprezentovaná \mathcal{H}_0 . Požadavek "malosti" \mathcal{W} zde znamená, že přidáním \mathcal{W} k \mathcal{H}_0 se řešení rovnice (3) změní málo.

Úkol, který před námi stojí, spočívá v nalezení korekčních členů k vlastním funkcím a vlastním hodnotám hamiltoniánu \mathcal{H}_0 . Pro jednoduchost budeme předpokládat, že \mathcal{H}_0 má jen diskrétní spektrum. Příslušné vlastní funkce označíme

$$\psi_1, \psi_2, \dots, \psi_k, \dots \quad (4a)$$

a jim odpovídající vlastní hodnoty

$$\varepsilon_1, \varepsilon_2, \dots, \varepsilon_k, \dots \quad (4b)$$

Funkce (4a) tvoří úplný systém (můžeme podle nich rozvinout libovolnou funkci závislou na stejných proměnných; viz odst.IV.1.3). O vlastních hodnotách (4b) zatím předpokládáme, že jsou nedegenerované (důvod se záhy objasní; jak postupovat, není-li tento požadavek splněn, ukážeme v následujícím odstavci).

Řešení rovnice (1), tj. funkci ψ , můžeme rozvinout podle funkcí (4a)

$$\psi = \sum_k c_k \psi_k \quad (5)$$

(Poznámka: kdyby operátor \mathcal{H}_0 měl částečně i spojitě spektrum, musel by se k sumě (5) dodat ještě integrál přes tuto část spektra.)

Dosadíme (5) do rovnice (1)

$$\sum_k c_k \mathcal{H}_0 \psi_k + \sum_k c_k \mathcal{W} \psi_k = E \sum_k c_k \psi_k$$

a upravíme dosazením z (3) (platí: $\mathcal{H}_0 \psi_k = \varepsilon_k \psi_k$) na tvar

$$\sum_k c_k \mathcal{W} \psi_k = \sum_k c_k (E - \varepsilon_k) \psi_k$$

Nyní vynásobíme levou i pravou stranu ψ_m^* a integrujeme obě strany přes celou definiční oblast proměnných. Protože funkce (4a) jsou ortonormální, platí

$$\int \psi_m^* \psi_k d\tau = \delta_{mk} \quad (6)$$

takže obdržíme

$$c_m (E - \varepsilon_m) = \sum_k W_{mk} c_k \quad , m=1,2,3,\dots \quad (7)$$

kde W_{mk} jsme označili maticový element

$$W_{mk} \equiv \langle m | \mathcal{W} | k \rangle = \int \psi_m^* \mathcal{W} \psi_k d\tau \quad (8)$$

Rovnice (7) představují soustavu homogenních (bez pravé strany) lineárních algebraických rovnic pro koeficienty $c_1, c_2, \dots, c_k, \dots$:

$$\begin{aligned}
(\varepsilon_1 + W_{11} - E)c_1 + W_{12}c_2 + \dots + W_{1k}c_k + \dots &= 0 \\
W_{21}c_1 + (\varepsilon_2 + W_{22} - E)c_2 + \dots + W_{2k}c_k + \dots &= 0 \\
\vdots &\vdots \\
W_{k1}c_1 + W_{k2}c_2 + \dots + (\varepsilon_k + W_{kk} - E)c_k + \dots &= 0 \\
\vdots &\vdots
\end{aligned} \quad (9)$$

Kdybychom dokázali tyto rovnice přesně vyřešit, znamenalo by to přesné řešení rovnice (1) ve tvaru řady (5).

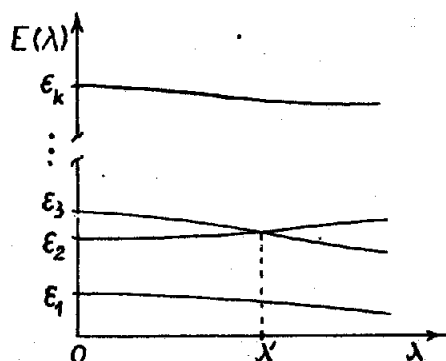
Nyní přikročíme k přibližnému řešení. Pro rozlišení korekcí jednotlivých řádů je přitom vhodné (nikoliv však nutné) zavést reálný parametr $\lambda \leq 1$ a místo (2) psát

$$\mathcal{H} = \mathcal{H}_0 + \lambda \mathcal{W} \quad (10)$$

V závěru odvození pak znovu položíme $\lambda = 1$.

Předpokládáme, že poruchový člen \mathcal{W} jen málo změní vlastní funkce (4a) a vlastní hodnoty (4b) tak, že přejde

$$\varphi_k \text{ v } \psi_k \text{ a } \varepsilon_k \text{ v } E_k \quad (k=1,2,3,\dots) \text{ (obr.42).}$$



Obr.42

Schematické znázornění závislosti vlastních hodnot $E_k(\lambda)$ hamiltoniánu $\mathcal{H}_0 + \lambda \mathcal{W}$ na λ . Pro $\lambda = 0$ máme spektrum \mathcal{H}_0 . Pro $\lambda = \lambda'$ se působením \mathcal{W} objevila náhodná dvojnásobná degenerace.

Rozvíňme nyní ψ_k a E_k v řady podle mocnin λ :

$$\psi_k = \varphi_k + \lambda \psi_k^{(1)} + \lambda^2 \psi_k^{(2)} + \dots \quad (11a)$$

$$E_k = \varepsilon_k + \lambda E_k^{(1)} + \lambda^2 E_k^{(2)} + \dots \quad (11b)$$

kde $\psi_k^{(j)}, E_k^{(j)}$ ($j=1,2,\dots$) budou korekční členy j-tého řádu.

Naším úkolem nyní je, najít formule pro výpočet těchto korekcí. Funkce ψ_k a hodnoty E_k vyhovují rovnici (1), tj. platí

$$(\mathcal{H}_0 + \lambda \mathcal{W}) \psi_k = E_k \psi_k \quad (12)$$

Přítom vlnové funkce ψ_k budeme normalizovat tak, aby platilo

$$\langle \psi_k | \psi_k \rangle = \int \psi_k^* \psi_k d\tau = 1 \quad (13a)$$

Dosadíme-li za ψ_k rozvoj (11a), dostaneme

$$\underbrace{\langle \psi_k | \psi_k \rangle}_{=1} = \underbrace{\langle \psi_k | \psi_k \rangle}_{=1} + \lambda \langle \psi_k | \psi_k^{(1)} \rangle + \lambda^2 \langle \psi_k | \psi_k^{(2)} \rangle + \dots$$

takže musí platit také

$$\langle \psi_k | \psi_k^{(j)} \rangle = 0 \quad \text{pro } j=1,2,3,\dots \quad (13b)$$

Dosadíme-li do (12) rozvoje (11) a uspořádáme levou i pravou stranu podle mocnin λ , obdržíme

$$\begin{aligned} \mathcal{H}_0 \psi_k + \lambda (\mathcal{H}_0 \psi_k^{(1)} + W \psi_k) + \lambda^2 (\mathcal{H}_0 \psi_k^{(2)} + W \psi_k^{(1)}) + \dots = \\ = \varepsilon_k \psi_k + \lambda (\varepsilon_k \psi_k^{(1)} + E_k^{(1)} \psi_k) + \lambda^2 (\varepsilon_k \psi_k^{(2)} + E_k^{(1)} \psi_k^{(1)} + E_k^{(2)} \psi_k) + \dots \end{aligned} \quad (14)$$

Aby byla rovnice (14) splněna pro všechna λ , musí se rovnat koeficienty u jednotlivých mocnin λ , takže musí platit

$$\mathcal{H}_0 \psi_k = \varepsilon_k \psi_k \quad (15a)$$

$$\mathcal{H}_0 \psi_k^{(1)} + W \psi_k = \varepsilon_k \psi_k^{(1)} + E_k^{(1)} \psi_k \quad (15b)$$

$$\mathcal{H}_0 \psi_k^{(2)} + W \psi_k^{(1)} = \varepsilon_k \psi_k^{(2)} + E_k^{(1)} \psi_k^{(1)} + E_k^{(2)} \psi_k \quad (15c)$$

Obecně pro řád $j \geq 1$ platí

$$\mathcal{H}_0 \psi_k^{(j)} + W \psi_k^{(j-1)} = \varepsilon_k \psi_k^{(j)} + E_k^{(1)} \psi_k^{(j-1)} + \dots + E_k^{(j)} \psi_k \quad (15d)$$

Rovnice (15a) odpovídá neporušenému problému ($W \equiv 0$).

Korekce $\psi_k^{(i)}$ ($i=1,2,3,\dots$) můžeme opět rozložit podle vlastních funkcí operátoru \mathcal{H}_0 (tj. podle funkcí (4a))

$$\psi_k^{(1)} = \sum_m' c_{km}^{(1)} \psi_m \quad (16a)$$

$$\begin{aligned} \psi_k^{(2)} &= \sum_m' c_{km}^{(2)} \psi_m \\ \vdots & \end{aligned} \quad (16b)$$

kde 'u \sum značí, že se vynechává člen s $m=k$ (ψ_k již v (11) je; počítáme "příměs" ostatních stavů k ψ_k).

Dosažením (16a) do (15b) získáme (s využitím (15a))

$$\sum_m' c_{km}^{(1)} (\varepsilon_m - \varepsilon_k) \psi_m - E_k^{(1)} \psi_k = -W \psi_k \quad (17a)$$

Podobně (16b) dosazené do (15c) dá

$$\sum_m' c_{mk}^{(2)} (\epsilon_m - \epsilon_k) \varphi_m - E_k^{(2)} \varphi_k = -W \psi_k^{(1)} + E_k^{(1)} \psi_k^{(1)} \quad (17b)$$

Korekci 1.řádu k hladině ϵ_k (tj. $E_k^{(1)}$) dostaneme vynásobením (17a) funkcí φ_k^* a integrací přes celý definiční obor; užijeme-li ještě (6) a označení (8), dostaneme

$$E_k^{(1)} = \langle k | W | k \rangle \quad (18)$$

Korekční člen $E_k^{(1)}$ je tedy roven střední hodnotě W ve stavu φ_k .

Vynásobíme-li (17a) funkcí φ_m^* ($m \neq k$) a provedeme integraci, získáme koeficienty do rozvoje (16a)

$$c_{km}^{(1)} = \frac{\langle m | W | k \rangle}{\epsilon_k - \epsilon_m} \quad (19)$$

Obdobným postupem z rovnic (17b) dostaneme pro korekci 2.řádu k energii

$$E_k^{(2)} = \sum_m' \frac{\langle k | W | m \rangle \langle m | W | k \rangle}{\epsilon_k - \epsilon_m} = \sum_m' \frac{|\langle k | W | m \rangle|^2}{\epsilon_k - \epsilon_m} \quad (20)$$

Všimněte si, že korekční člen 2.řádu pro základní stav je vždy záporný, neboť pro všechna $m > k$ je $\epsilon_k - \epsilon_m < 0$.

Formuli pro $c_{km}^{(2)}$ (kterou je možné také získat z rovnic (17)) neuvádíme, neboť při praktických výpočtech se zpravidla omezujeme na výpočet energie v aproximaci 2.řádu a výpočet vlastních funkcí v přiblížení 1.řádu. To, že vlnovou funkci určujeme v aproximaci o jednotku nižší než energii, má dobrý důvod. Všimněte si, že korekce 1.řádu k energii je rovna střední hodnotě W , počítané s vlnovými funkcemi φ (tj. s $\psi_k^{(0)}$). Z rovnic (17) je možné odvodit obecný závěr

$$E_k^{(j)} = \langle \varphi_k | W | \psi_k^{(j-1)} \rangle = \int \varphi_k^* W \psi_k^{(j-1)} d\tau \quad ; \quad (21)$$

takže k výpočtu korekčního členu j -tého řádu pro energii potřebujeme znát vlnovou funkci v $(j-1)$ aproximaci.

Za zaznamenání stojí i výsledek, který dostaneme z (21), jestliže obě strany vynásobíme λ^j a sečteme přes j od 1 do ∞ :

$$E_k = \epsilon_k + \lambda \langle \varphi_k | W | \psi_k \rangle \quad (22)$$

Shrňme získané výsledky. Vlastní hodnoty hamiltoniánu (2) jsou v aproximaci 2.řádu rovny:

$$E_k = \varepsilon_k + \langle k | W | k \rangle + \sum_{\substack{m \\ m \neq k}} \frac{|\langle k | W | m \rangle|^2}{\varepsilon_k - \varepsilon_m} \quad (23)$$

Vlastní funkce hamiltoniánu (2) v přiblížení 1.řádu jsou:

$$\psi_k = \varphi_k + \sum_{\substack{m \\ m \neq k}} \frac{\langle m | W | k \rangle}{\varepsilon_k - \varepsilon_m} \varphi_m \quad (24)$$

Užití teorie poruch je oprávněné jen v tom případě, že řady postupných aproximací (11) konvergují. K tomu je ale třeba, aby každá oprava byla ve srovnání s předešlou malá. Z uvedených vztahů (24), (25) (i z tvaru dalších členů poruchové řady) pak vyplývá, že poruchový počet můžeme použít, jestliže je splněna podmínka

$$|\langle m | W | k \rangle| \ll |\varepsilon_k - \varepsilon_m| \quad (25)$$

pro všechna $m \neq k$. Vyjádřeno slovy: maticové prvky operátoru poruchy musí být mnohem menší než vzdálenosti mezi odpovídajícími energiovými hladinami neporušené soustavy.

1.2) Postup při výpočtu korekcí k degenerovaným hladinám

Projdete-li pozorně výpočty v předchozím odstavci zjistíte, že výsledné vzorce (23), (24) jsou použitelné, jestliže energiová hladina ε_k je nedegenerovaná. Degenerace ostatních hladin (pro $m \neq k$) není na závalu, pouze by bylo třeba sumace přes m ještě rozšířit o součty přes degenerované stavy: místo φ_m bychom měli φ_{mi} ($i=1, 2, \dots, g_m$, kde g_m je stupeň degenerace m -té hladiny ε_m), ve vzorcích by vystupovali maticové prvky

$$\langle m i | W | k \rangle = \int \varphi_{mi}^* W \varphi_k d\tau \quad (26)$$

a v (23) i (24) by se doplnily ještě sumy $\sum_{i=1}^{g_m}$.

Předpokládejme však, že hladina ε_k , k níž chceme počítat korekce, je f -násobně degenerovaná (pro přehlednost píšeme f místo g_k). Znamená to, že existuje f lineárně nezávislých stavů, reprezentovaných ortonormálními funkcemi

$$\varphi_{k1}, \varphi_{k2}, \dots, \varphi_{kf} \quad (27)$$

a ve všech má soustava energií ε_k .

Výše uvedené vzorce pro nedegenerovanou hladinu jsou nepoužitelné především proto, že při jejich odvození jsme vycházeli z předpokladu o přechodu funkce ψ_k vlivem poruchy W ve funkci ψ_k ; v nulté aproximaci platilo $\psi_k^{(0)} = \varphi_k$. V případě degenerované hladiny ε_k však může být $\psi_k^{(0)}$ nějakou lineární kombinací funkcí (27). Další důvod, proč jsou formule (23), (24) bezprostředně nepoužitelné, je následující. Protože počítáme vždy korekci pro určitý stav - řekněme φ_{kj} - objevily by se nám ve vzorcích (23), (24) maticové prvky (zobecnění (26))

$$\langle k_i | W | k_j \rangle = \int \varphi_{ki}^* W \varphi_{kj} d\tau \quad (i \neq j) \quad (28)$$

Každý z těchto prvků by se kombinoval se jmenovatelem $\varepsilon_k - \varepsilon_k = 0$ a jestliže by některé prvky (28) byly nenulové, odpovídající sčítanci by divergovaly. Poznatek, že hlavní potíže spočívá v nenulových maticových prvcích $\langle k_i | W | k_j \rangle$ ukazuje také cestu k řešení.

Víme, že každá lineární kombinace funkcí (27) reprezentuje možný stav soustavy s energií ε_k . Jestliže tedy najdeme soubor f ortogonálních funkcí ϕ_{ki}

$$\phi_{ki} = \sum_{j=1}^f b_{kj} \varphi_{kj} \quad \text{pro } i=1,2,\dots,f \quad (29)$$

takových, že bude platit

$$\langle \phi_{ki} | W | \phi_{kj} \rangle = \int \phi_{ki}^* W \phi_{kj} d\tau = 0 \quad (30)$$

pro $i \neq j$, $i, j=1,2,\dots,f$,

můžeme soubor $\phi_{k1}, \phi_{k2}, \dots, \phi_{kf}$ užít místo souboru (27) a při výpočtu korekcí ke stavům s energií ε_k podle (23), (24) již nebudou vznikat obtíže.

Jestliže tedy chceme počítat poruchovým počtem opravy k degenerované hladině ε_k , musí být prvním krokem nalezení takových koeficientů b_{kj} do (29), aby funkce ϕ_{kj} splňovaly podmínky (30).

Abychom další formule zbytečně nekomplikovali mnoha indexy, nebudeme přechodně vypisovat index k (označuje jen, že se vše provádí pro degenerovanou hladinu ε_k).

Ukážeme, že splnění uvedeného úkolu, tj. nalezení koeficientů b_j ($j=1,\dots,f$) do (29), tak aby platilo

$$\langle \phi_i | W | \phi_j \rangle = 0 \quad \text{pro } i \neq j \text{ a } i, j=1,\dots,f,$$

vyžaduje nalezení vlastních vektorů a vlastních hodnot hermitovské matice

$$W = \begin{pmatrix} \langle 1|W|1 \rangle & \langle 1|W|2 \rangle & \dots & \langle 1|W|f \rangle \\ \langle 2|W|1 \rangle & \langle 2|W|2 \rangle & \dots & \langle 2|W|f \rangle \\ \vdots & \vdots & \ddots & \vdots \\ \langle f|W|1 \rangle & \langle f|W|2 \rangle & \dots & \langle f|W|f \rangle \end{pmatrix} \quad (31)$$

kde $\langle 1|W|j \rangle$ je dáno (28).

Z lineární algebry je známo ([11,13,23]), že hermitovská matice dimenze $f \times f$ má f reálných vlastních hodnot; v našem případě je označíme (i u nich by měl být index k)

$$E_1, E_2, \dots, E_f \quad (32)$$

K nim přísluší f vlastních vektorů

$$\vec{b}_1, \vec{b}_2, \dots, \vec{b}_f, \quad (33)$$

které mohou být vždy vybrány tak, že jsou ortonormální a tedy platí

$$\langle b_q | b_p \rangle = \sum_{j=1}^f b_{qj}^* b_{pj} = \delta_{qp} \quad (34)$$

kde $p, q=1, 2, \dots, f$ (druhý index u b rozlišuje f složek příslušného vektoru).

Protože jde o vlastní hodnoty a vektory matice W (31), platí

$$W \vec{b}_p = E_p \vec{b}_p \quad (35a)$$

nebo ve složkách

$$\sum_{i=1}^f \langle i|W|i \rangle b_{pi} = E_p b_{pj} \quad (j=1, 2, \dots, f) \quad (35b)$$

Vynásobíme-li (35b) zleva b_{qj}^* a sečteme přes $j=1, 2, \dots, f$, dostaneme (za maticový prvek dosadíme vyjádření pomocí integrálu (28) a zaměníme integraci a sumaci)

$$\int \left[\underbrace{\left(\sum_{j=1}^f b_{qj}^* \psi_j^* \right)}_{= \phi_q^* \text{ (podle (29))}} W \underbrace{\left(\sum_{i=1}^f b_{pi} \psi_i \right)}_{= \phi_p} d\tau = E_p \underbrace{\sum_{j=1}^f b_{qj}^* b_{pj}}_{= \delta_{pq} \text{ (podle (34))}} ,$$

takže platí (doplníme-li opět index k, srov. (30))

$$\langle \phi_{kq} | W | \phi_{kp} \rangle = E_{kp} \delta_{qp} \quad (36)$$

Získaný výsledek ukazuje, že nalezením vlastních vektorů a vlastních hodnot matice W (31) získáme:

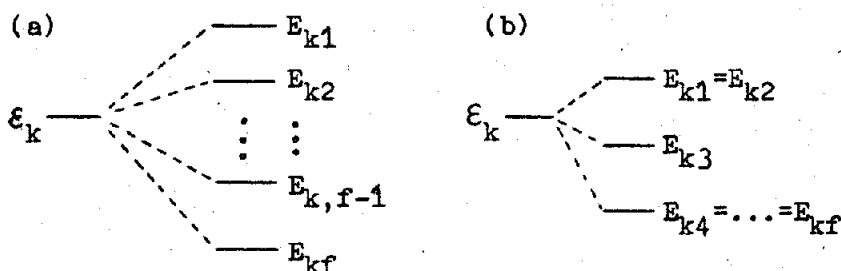
a) koeficienty b_{kj} do rozvoje (29); pro funkci ϕ_{k1} to budou složky vlastního vektoru \vec{b}_1 ;

b) soubor vlastních hodnot (energií)

$$E_{k1}, E_{k2}, \dots, E_{kf},$$

které vlastně představují korekce 1. řádu k energii ϵ_k . Ověříte to tak, že (ve shodě s původním záměrem) použijete funkce $\phi_{k1}, \dots, \phi_{kf}$ místo funkcí (27) a budete počítat korekce ze vzorců (23), (24); korekce 1. řádu k energii ϵ_k pak jsou právě $\langle \phi_{ki} | W | \phi_{ki} \rangle$, vyjádřené vztahy (36).

Právě popsanou procedurou jsme tedy nejen odstranili obtíže spojené s použitím formulí (23), (24) na degenerované hladiny, ale současně jsme i našli korekce 1. řádu k energii. Proto také již v tomto kroku dojde zpravidla k částečnému nebo i úplnému sejmutí degenerace vlivem poruchového členu (obr. 43).



Obr. 43

Vlivem poruchy W se může z původně f -násobně degenerované hladiny ϵ_k sejmut (a) úplně nebo (b) částečně degenerace (schematické znázornění).

Z předchozích kapitol již víme, že degenerace (vyjma náhodnou) je důsledkem symetrie studovaného systému. Tato symetrie se projeví v tom, že hamiltonián soustavy je invariantní vzhledem k operacím symetrie soustavy (tj. nemění se, jestliže provedeme transformaci souřadnic odpovídající provedení operace symetrie, která převádí soustavu v sebe). Jestliže systém s hamiltoniánem \mathcal{H}_0 měl určitou symetrii, potom systém s hamiltoniánem $\mathcal{H} = \mathcal{H}_0 + W$ může mít symetrii stejnou nebo nižší; rozhodující je symetrie poruchového členu W . Hamiltonián \mathcal{H} je totiž invariantní pouze k těm operacím symetrie, k nimž je invariantní jak \mathcal{H}_0 tak W .

Ke snímání degenerace dochází proto, že poruchový člen má zpravidla nižší symetrii než \mathcal{H}_0 (např. \mathcal{H}_0 v případě elektronu v atomu má nejvyšší, tj. sférickou, symetrii a W je nějaké dodatečné pole, které již kulovou symetrii nemá). Rozhodnout na kolik hladin se degenerovaná hladina rozštěpí (a jakou symetrii budou mít odpovídající vlnové funkce ϕ_{ki}) je možné bez provádění konkrétních výpočtů, v podstatě pouze na základě znalostí grup symetrie operátorů \mathcal{H}_0, W (grupa symetrie operátoru je množina všech operací symetrie k nimž je operátor invariantní); je k tomu ovšem třeba znalost základních vět z teorie grup. Elementární úvod do této problematiky je v [9], skutečné příklady užití najdete např. v [10].

1.3) Poznámka o téměř degenerovaných hladinách

Často se stává, že v energiovém spektru studované soustavy jsou dvě (případně i více) hladiny - řekněme ϵ_k, ϵ_m - blízko sebe a ostatní jsou od nich dosti vzdálené. Přímá aplikace vzorců (23), (24) na tyto hladiny, i když nejsou degenerované, není obvykle možná; rozdíl $\epsilon_k - \epsilon_m$, který by se objevil v některých jmenovatelích vzorců (23), (24), je malý a odpovídající členy by byly proto velké. Jinými slovy: není splněna podmínka (25) pro užití poruchového počtu. Postup, který se v tomto případě volí, je blízký tomu, který jsme právě užili na degenerovanou hladinu. Nebudeme ho zde uvádět i proto, že jsme mu již vlastně věnovali odst.V.2 v I.dílu skripty.

První krok spočívá v tom, že se vyřeší přesně vliv \mathcal{W} na blízké hladiny za předpokladu, že jsou to jediné hladiny energiového spektra (zanedbá se interakce s ostatními stavy); právě toto jsme dělali ve zmíněném odst.V.2.

V druhém kroku pak již můžeme, opět bez problémů, použít standardní poruchový počet, neboť v řadách (23), (24) se již nebudou objevovat (ze stejných důvodů jako u degenerované hladiny) velké členy; místo vlnových funkcí ψ_k, ψ_m budeme totiž pracovat s funkcemi (V.56).

1.4) Příklady použití poruchového počtu

1.4.1) Anharmonický lineární oscilátor

Potenciální energie harmonického oscilátoru je dána výrazem (VII.6): $V = kx^2/2$. V odst.VII.5 jsme viděli, že tuto potenciální energii často dostáváme jako 1. aproximaci, jestliže funkci $V(x)$ rozvine-
me v Taylorovu řadu okolo rovnovážné polohy a ukončíme ji kvadratickým členem (srov.(VII.87)). Jsou-li výchylky z rovnovážné polohy větší (např. při vyšších teplotách), začnou se výrazněji uplatňovat další, tzv. anharmonické, členy Taylorova rozvoje.

Předpokládejme, že jako další (poruchový) člen vezmeme člen úměrný x^3 . Přejdeme-li opět k proměnným χ, \mathcal{P} a za \mathcal{H}_0 vezmeme hamiltonián (VII.10a), tj.

$$\mathcal{H}_0 = \frac{1}{2} (\mathcal{P}^2 + \chi^2), \quad (37a)$$

bude poruchový operátor

$$\mathcal{W} = \lambda \chi^3 \quad (37b)$$

kde $\lambda \ll 1$ je bezrozměrný parametr.

Dříve, než začneme mechanicky aplikovat vzorce poruchového počtu, musíme si ověřit, zda jsou splněny všechny předpoklady, které jsme při jejich odvození udělali.

Na potenciálu $X^2/2$ s poruchou (37b) si můžeme ukázat, že pouhý požadavek aby porucha byla malá, nemusí být postačující.

Pro $\lambda = 0$ má hamiltonián (37a) diskrétní energiové spektrum

$$\epsilon_n = n + \frac{1}{2}, \quad n = 0, 1, 2, \dots \quad (38)$$

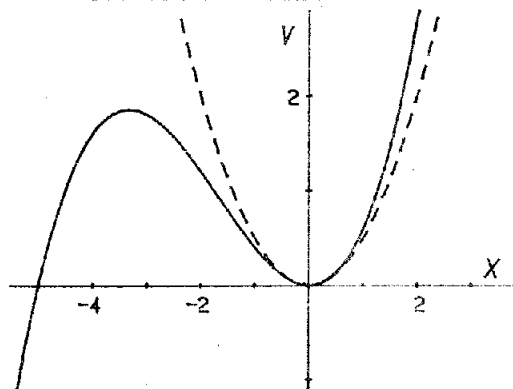
Dá se ukázat, že platí

$$\lambda | \langle k | X^3 | m \rangle | \ll | \epsilon_k - \epsilon_m | = | k - m |, \quad (39)$$

takže podmínka (25) je pro $\lambda \ll 1$ vždy splněna a použití poruchového počtu by zdánlivě nemělo nic bránit. Obezřetností při jeho aplikaci je však třeba proto, že pro $\lambda \neq 0$ má hamiltonián s potenciální energií

$$V = X^2/2 + \lambda X^3$$

spojitou část energiového spektra. Pro dostatečně velké záporné hodnoty proměnné X je totiž potenciální energie menší než celková energie částice (obr.44). Vlnové funkce a energie získané poruchovým počtem pak popisují vlastně nestacionární stavy. Částice totiž může projít potenciálovým valem a postupovat do $-\infty$. Pro malá λ je však tento proces málo pravděpodobný (bariéra je vysoká a pro stavy s malými kvantovými čísly n je značně široká) a proto budou řešení získaná metodou teorie poruch prakticky shodná se stacionárními stavy; v těchto případech se zpravidla mluví o kvazistacionárních stavech.



Obr.44

Potenciální energie

$$V = \frac{1}{2} X^2 + \lambda X^3 \quad \text{pro } \lambda = 0.1$$

Diskrétní energiové spektrum má částice vždy, když $V(X) > E$ pro $X \rightarrow \pm\infty$, což v našem případě není pro $X \rightarrow -\infty$ splněno. Čárkovane je vyznačen neporušený potenciál.

Vzorce poruchového počtu jsme odvodili v souřadnicové reprezentaci. Je samozřejmě možné postupovat při odvozování naprosto stejně a neodvolávat se přitom na žádnou konkrétní reprezentaci; vše se prostě provádí v Diracově vektorové symbolice. Výsledek, který tak získáme, je, vzhledem k označení které jsme užili pro maticové elementy, shodný s formulami (23), (24). Využijeme toho a provedeme řešení naší úlohy v reprezentaci kreačních a anihilačních operátorů s níž jsme se seznámili v kap.VII. Uvidíme, že je to elegantní algebraická cesta, která dovoluje snadno nalézt potřebné maticové prvky (podrobné řešení v souřadnicové reprezentaci najdete např. v I.dílu[5]).

Podle (VII.34) je operátor souřadnice χ vyjádřen takto:

$$\chi = \frac{1}{\sqrt{2}} (\hat{a}^+ + \hat{a})$$

takže poruchový člen \mathcal{W} je v této reprezentaci vyjádřen operátorem

$$\mathcal{W} = \frac{\lambda}{2^{3/2}} (\hat{a}^+ + \hat{a})^3 \quad (40a)$$

S použitím komutační relace (VII.33) a definice operátoru \hat{n} podle (VII.32), můžeme (40a) snadno upravit na tvar

$$\mathcal{W} = \frac{\lambda}{2^{3/2}} [\hat{a}^{+3} + \hat{a}^3 + 3\hat{n}\hat{a}^+ + 3(\hat{n}+1)\hat{a}] \quad (40b)$$

Označíme-li $|m\rangle$ ket-vektor příslušející stavu s vlastní hodnotou ε_m (v souřadnicové reprezentaci je $|m\rangle \equiv \varphi_m$), potom obecný maticový prvek $\langle k|\mathcal{W}|m\rangle$ je součtem 4 členů (maticových prvků):

$$\begin{aligned} \langle k|\mathcal{W}|m\rangle = \lambda \cdot 2^{-3/2} [& \langle k|\hat{a}^{+3}|m\rangle + \langle k|\hat{a}^3|m\rangle + \\ & + 3\langle k|\hat{n}\hat{a}^+|m\rangle + 3\langle k|(\hat{n}+1)\hat{a}|m\rangle] \end{aligned} \quad (41)$$

Pro výpočet jednotlivých členů je třeba si uvědomit, že vlastní vektory \mathcal{H}_0 jsou ortonormální, tzn., že platí

$$\langle k|m\rangle = \delta_{km} \quad (42)$$

Vezměme např. první z maticových prvků v (41), tj. $\langle k|\hat{a}^{+3}|m\rangle$.

Podle definice působení operátorů \hat{a}^+, \hat{a} (VII.48) je

$$\hat{a}^{+3}|m\rangle \equiv \hat{a}^+\hat{a}^+\hat{a}^+|m\rangle = \sqrt{(m+1)(m+2)(m+3)} |m+3\rangle,$$

takže (maticový prvek je skalárním součinem $|k\rangle$ s $(\hat{a}^{+3}|m\rangle)$)

$$\langle k|\hat{a}^{+3}|m\rangle = \sqrt{(m+1)(m+2)(m+3)} \langle k|m+3\rangle.$$

Vzhledem k platnosti (42) buď tedy nenulový pouze ten maticový prvek $\langle k|\hat{a}^{+3}|m\rangle$, v němž je $k=m+3$. V tomto případě dostaneme

$$\langle m+3|\hat{a}^{+3}|m\rangle = \sqrt{(m+1)(m+2)(m+3)} \quad (43a)$$

Stejnou úvahou získáme nenulové maticové prvky pro zbývající tři sčítance v (41):

$$\langle m-3|\hat{a}^3|m\rangle = \sqrt{m(m-1)(m-2)} \quad (43b)$$

$$\langle m+1|\hat{n}\hat{a}^+|m\rangle = (m+1)^{3/2} \quad (43c)$$

(neboť $\hat{a}^+|m\rangle = \sqrt{m+1}|m+1\rangle$, $\hat{n}|m+1\rangle = (m+1)|m+1\rangle$)

$$\langle m-1|(\hat{n}+1)\hat{a}|m\rangle = m^{3/2} \quad (43d)$$

Nyní můžeme přistoupit k výpočtu korekčních členů pro vlastní hodnotu ε_k . Protože všechny diagonální prvky $\langle k|\mathcal{W}|k\rangle$ jsou rovny nule, je i korekce 1. řádu rovna nule. Čtyři nenulové maticové prvky (43) se uplatní až při výpočtu korekce 2. řádu. Ze sumy přes všechna $m \neq k$ zůstanou jen 4 členy s nenulovými maticovými prvky (43).

Jednoduchý (ale pozorný) výpočet dá pro energii E_k v aproximaci 2. řádu (přejdeme od ε_k k $E_k = \hbar\omega\varepsilon_k$; viz (VII.23))

$$E_k = \left(k + \frac{1}{2}\right) \hbar\omega - \frac{15}{4} \lambda^2 \left(k + \frac{1}{2}\right)^2 \hbar\omega - \frac{7}{16} \lambda^2 \hbar\omega \quad (44)$$

Porucha \mathcal{W} se tedy projeví snížením energiových hladin (bez ohledu na znaménko λ), přičemž tento pokles poroste s k . Energiové hladiny proto už nebudou ekvidistantně vzdálené, ale s rostoucím k se budou k sobě přibližovat; platí totiž

$$E_k - E_{k-1} = \hbar\omega \left[1 - \frac{15}{2} \lambda^2 k\right] \quad (45)$$

Korigovaný stavový vektor v aproximaci 1. řádu dostaneme dosazením maticových prvků ((41)+(43)) do vzorce (24):

$$\begin{aligned} \psi_k = & |k\rangle - 3\lambda \left(\frac{k+1}{2}\right)^{3/2} |k+1\rangle + 3\lambda \left(\frac{k}{2}\right)^{3/2} |k-1\rangle - \\ & - \frac{\lambda}{3} \left[\frac{(k+3)(k+2)(k+1)}{8}\right]^{1/2} |k+3\rangle + \\ & + \frac{\lambda}{3} \left[\frac{k(k-1)(k-2)}{8}\right]^{1/2} |k-3\rangle \end{aligned} \quad (46)$$

1.4.2) Atom vodíku v homogenním elektrickém poli. Starkův jev

Energiové hladiny elektronu, který se nachází pouze v elektrostatickém poli protonu, jsou (IX.44)

$$\varepsilon_n = -E_I \frac{1}{n^2} \quad (n=1,2,3,\dots) \quad (47)$$

Pro $n \geq 2$ jsou hladiny n^2 -násobně degenerované (neuvažujeme-li spin).

Mějme nyní vodíkový atom vložený do homogenního elektrického pole s intenzitou \vec{E} ve směru osy z . Protože elektrické pole nemění stav spinu, nebudeme explicitně spinovou proměnnou σ a spinové kvantové číslo m_s uvažovat. K hamiltoniánu \mathcal{H}_0 pro izolovaný atom vodíku musíme dodat člen, který vyjadřuje interakční energii dipólového momentu atomu $\vec{d} = -e\vec{r}$ s polem $\vec{E} = (0,0,E)$:

$$\mathcal{W} = -\vec{d} \cdot \vec{E} = e\vec{r} \cdot \vec{E} = eEz \quad (48)$$

I pro velmi silná pole E bude energie (48) mnohem menší než energie (47). Vezměme např. $E = 10^6 \text{ Vcm}^{-1}$; potom

$$|eEz| \approx eEa_0 \approx e \cdot 10^6 \text{ Vcm}^{-1} \cdot 0,5 \cdot 10^{-8} \text{ cm} = 0,05 \text{ eV},$$

což je energie mnohem menší než ionizační energie $E_I = 13,6 \text{ eV}$. Je proto možné chápat \mathcal{W} jako poruchu a užít poruchový počet.

Energiová hladina pro $n=1$ (stav $1s$)

Korekce 1.řádu je

$$\langle 1s | W | 1s \rangle = e \mathcal{E} \langle 1s | z | 1s \rangle \quad (49)$$

Na základě jednoduché úvahy můžeme bez počítání dospět k závěru, že maticový prvek (49) je roven nule: stav $1s$ je sféricky symetrický, takže elektron může být se stejnou pravděpodobností v bodech se souřadnicí z a $-z$. Maticový element (49) však vyjadřuje též střední hodnotu velkého počtu měření souřadnice z ve stavu $1s$ (viz (IV.113)), která musí být z uvedeného důvodu rovna nule. Neobjeví se proto žádný efekt úměrný \mathcal{E} .

Korekce 2.řádu je podle (20)

$$E_1^{(2)} = e^2 \mathcal{E}^2 \sum_{\substack{n,l,m \\ n \neq 1}} \frac{|\langle 1,0,0 | z | n,l,m \rangle|^2}{\epsilon_1 - \epsilon_n} \quad (50)$$

Nebudeme ji explicitně počítat, je však jasné, že bude od nuly různá, neboť mezi stavy $|n,l,m\rangle$ existují takové, které mají opačnou paritu než stav $|1,0,0\rangle$, takže příslušný maticový prvek bude nenulový. Protože $\epsilon_1 - \epsilon_n < 0$ pro $n \geq 2$, bude korekce (50) záporná a základní stav $1s$ se v poruchovém poli (48) sníží.

Energiová hladina pro $n = 2$

je 4-násobně degenerovaná. Patří k ní stavy

$$\begin{aligned} &\psi_{2,0,0}, \psi_{2,1,1}, \psi_{2,1,-1}, \psi_{2,1,0}, \text{ které označíme} \\ &|2s_0\rangle, |2p_1\rangle, |2p_{-1}\rangle, |2p_0\rangle \end{aligned} \quad (51)$$

Protože jde o degenerovanou hladinu, musíme postupovat podle odst.1.2, tzn. nejprve najít vlastní vektory a vlastní hodnoty matice (31).

V našem případě je to matice 4×4 s maticovými prvky poruchy (48) mezi stavy (51). Většina těchto maticových elementů je rovna nule. Týká se to především těch prvků, v nichž vystupují vlnové funkce pro různé vlastní hodnoty \mathcal{L}_z (s různými kvantovými čísly m). Je tomu tak proto, že $e \mathcal{E} z$ komutuje s operátorem \mathcal{L}_z (platí $[z, \mathcal{L}_z] = 0$); potom totiž můžeme např. psát

$$0 = \langle 2p_{-1} | [e \mathcal{E} z, \mathcal{L}_z] | 2p_1 \rangle = \langle 2p_{-1} | e \mathcal{E} z (\mathcal{L}_z | 2p_1 \rangle) - (\langle 2p_{-1} | \mathcal{L}_z) e \mathcal{E} z | 2p_1 \rangle =$$

$$= \hbar | 2p_1 \rangle = -\hbar \langle 2p_{-1} |$$

$$= 2 \hbar \langle 2p_{-1} | e \mathcal{E} z | 2p_1 \rangle, \text{ takže}$$

$$\langle 2p_{-1} | e \mathcal{E} z | 2p_1 \rangle = 0 \quad (52)$$

Výsledek je konkrétním případem obecného pravidla: jestliže operátor W komutuje s nějakým integrálem pohybu \mathcal{A} hamiltoniánu \mathcal{H}_0 , jsou maticové prvky W mezi různými vlastními stavy operátoru \mathcal{A} rovny nule.

Závěr k němuž jsme právě došli, spolu s dřívějším poznatkem, že všechny diagonální prvky jsou rovny nule (viz úvahu za (49)), znamená, že v matici (31) zůstanou jen 2 nenulové maticové prvky:

$$\langle 2s_0 | e \mathcal{E} z | 2p_0 \rangle, \quad \langle 2p_0 | e \mathcal{E} z | 2s_0 \rangle \quad (53)$$

Protože jsou hermitovsky sdružené, stačí vypočítat pouze jeden z nich:

$$\begin{aligned} \langle 2s_0 | e \mathcal{E} z | 2p_0 \rangle &= \\ &= e \mathcal{E} \int_0^\infty dr \int_0^\pi d\theta \int_0^{2\pi} d\varphi \psi_{200}^*(r, \theta, \varphi) r \cos \theta \psi_{210}(r, \theta, \varphi) r^2 \sin \theta = \\ &= \frac{e \mathcal{E}}{16\pi a_0^4} \int_0^\infty \exp(-r/a_0) \left(1 - \frac{r}{2a_0}\right) r^4 dr \cdot \int_0^\pi \cos^2 \theta \sin \theta d\theta \cdot \int_0^{2\pi} d\varphi \end{aligned}$$

V integrálu přes r provedeme substituci $t = r/a_0$:

$$\int_0^\infty \exp(-r/a_0) \left(1 - \frac{r}{2a_0}\right) r^4 dr = a_0^5 \int_0^\infty e^{-t} \left(1 - \frac{t}{2}\right) t^4 dt$$

Protože platí $\int_0^\infty e^{-x} x^n dx = n!$ ($n > 0$)

je tento integrál roven $-36a_0^5$.

Dále je

$$\int_0^\pi \cos^2 \theta \sin \theta d\theta = \int_{-1}^1 t^2 dt = \frac{2}{3} \quad \text{a} \quad \int_0^{2\pi} d\varphi = 2\pi$$

Celkem tedy

$$\langle 2s_0 | e \mathcal{E} z | 2p_0 \rangle = \langle 2p_0 | e \mathcal{E} z | 2s_0 \rangle = -3e \mathcal{E} a_0 \quad (54)$$

a matice (31) je

$$W = \begin{pmatrix} 0 & -3e \mathcal{E} a_0 & 0 & 0 \\ -3e \mathcal{E} a_0 & 0 & 0 & 0 \\ 0 & 0 & 0 & 0 \\ 0 & 0 & 0 & 0 \end{pmatrix}, \quad (55)$$

takže stačí najít vlastní vektory a vlastní hodnoty vyznačené submatice dimenze 2×2 .

Vlastní hodnoty jsou kořeny charakteristické rovnice

$$\begin{vmatrix} -E & -3e \mathcal{E} a_0 \\ -3e \mathcal{E} a_0 & -E \end{vmatrix} = 0 \quad (56)$$

takže (srov. (32))

$$E_1 = -3e \mathcal{E} a_0, \quad E_2 = +3e \mathcal{E} a_0 \quad (57)$$

Odpovídající ortonormální vlastní vektory \vec{b}_1 , \vec{b}_2 (33) můžeme vybrat takto

$$\vec{b}_1 = 2^{-1/2} \begin{pmatrix} 1 \\ 1 \end{pmatrix}, \quad \vec{b}_2 = 2^{-1/2} \begin{pmatrix} 1 \\ -1 \end{pmatrix} \quad (58)$$

Potom stav, kterému v nulté aproximaci přísluší vlnová funkce

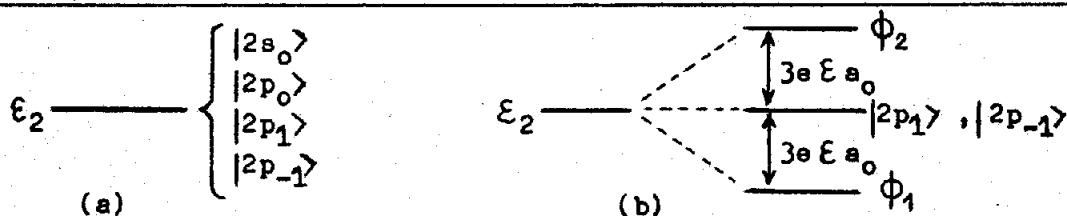
$$\phi_1 = 2^{-1/2} (|2s_0\rangle + |2p_0\rangle) \quad (59a)$$

bude mít v aproximaci 1.řádu posunutou energii o $-3e\xi a_0$ a stav s vlnovou funkcí

$$\phi_2 = 2^{-1/2} (|2s_0\rangle - |2p_0\rangle) \quad (59b)$$

bude mít energii posunutou o $+3e\xi a_0$.

Degenerace hladiny ε_2 se tedy sejme jen částečně, zůstane ještě nezměněný dvojnásobně degenerovaný stav (obr.45).



Obr.45

Vliv homogenního elektrického pole na vodíkovou hladinu ε_2 :
(a) bez pole, (b) v poli ξ .

Rozštěpení hladiny ε_2 se projeví v optickém spektru tak, že místo jediné čáry, odpovídající přechodu z hladiny ε_2 na ε_1 , se objeví 3 čáry, které přísluší přechodům z třech hladin v obr.45b na hladinu ε_1 .

Rozštěpení spektrálních čar vlivem elektrického pole se nazývá Starkův jev. Za povšimnutí ještě stojí, že zatímco pro nedegenerovaný stav 1s neexistoval Starkův jev úměrný ξ (korekce 1.řádu byly nulové), pro degenerované hladiny se objeví.

2. Variační metoda

Variační metoda, kterou si nyní popíšeme, má široké použití zejména v kvantové teorii atomů a molekul. Není to metoda poruchová, takže nevyžaduje dělení hamiltoniánu na \mathcal{H}_0 a malou dodatečnou energii \mathcal{W} ; zato však, jak uvidíme, její úspěšné a efektivní využití vyžaduje trochu fyzikální intuice a zkušenosti při odhadu vlnové funkce, která má být řešením studované stacionární Schrödingerovy rovnice. Nejčastěji se užívá pro nalezení přibližné energie a vlnové funkce základního stavu soustavy, je však možné ji snadno rozšířit i na excitované stavy.